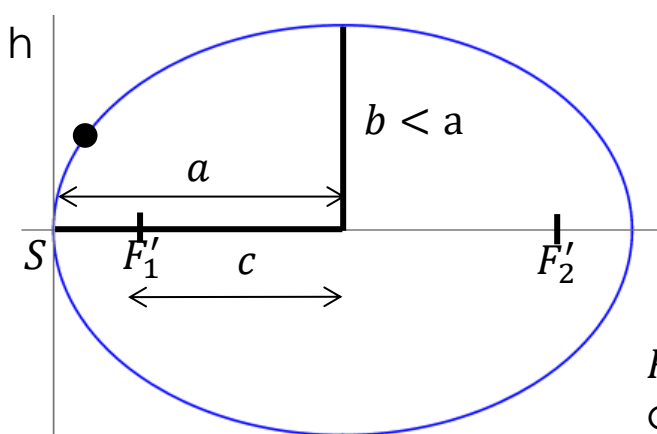


Surfaces quadriques de révolution



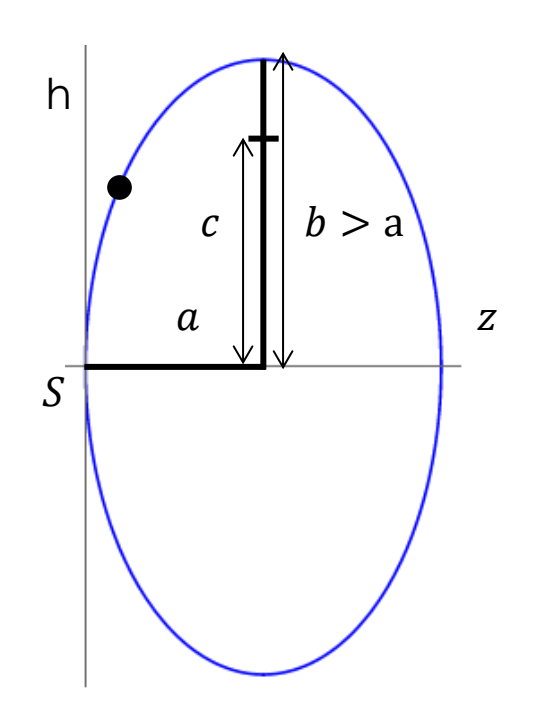
$$c = \sqrt{a^2 - b^2}$$

$$e = c/a$$

$$\varepsilon = -e^2, -1 < \varepsilon < 0$$

$$R = \frac{b^2}{a} = a(1 + \varepsilon)$$

R:rayon de courbure en S



$$c = j\sqrt{b^2 - a^2}$$

$$e = c/a$$

$$\varepsilon = -e^2, \ \varepsilon > 0$$

$$R = \frac{b^2}{a} = a(1 + \varepsilon)$$

R:rayon de courbure en S

Ellipsoïde (allongé)

Equation exacte:

$$\frac{(z-a)^2}{a^2} + \frac{h^2}{b^2} = 1$$

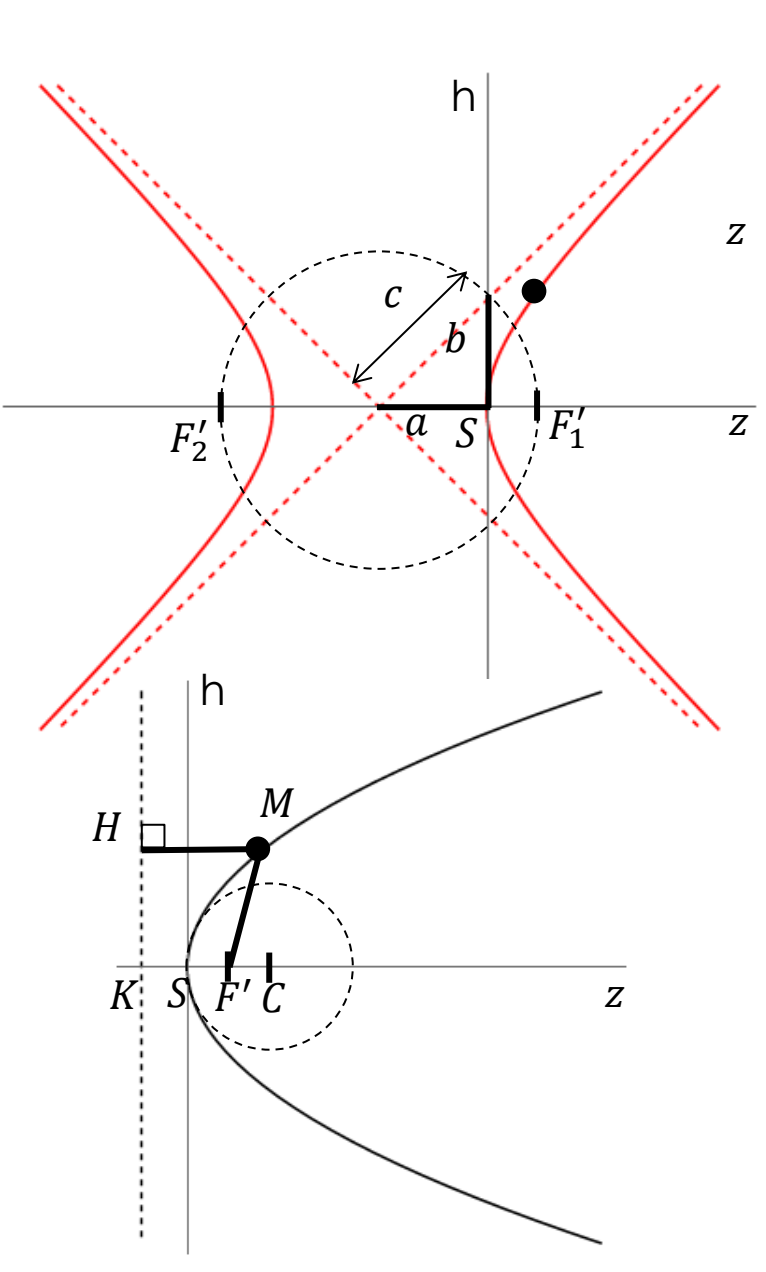
Equation approchée:

$$z = \frac{h^2}{2R} + \frac{h^4}{8R^3}(1+\varepsilon) + o(h^4)$$

Ellipsoïde (aplati)



Surfaces quadriques de révolution



$$c = \sqrt{a^2 + b^2}$$

$$e = c/a$$

$$\varepsilon = -e^2, \varepsilon < -1$$

$$R = \frac{b^2}{a} = -a(1 + \varepsilon)$$

R:rayon de courbure en S

R:rayon de courbure en S

Hyperboloïde

Equation exacte:

$$\frac{(z+a)^2}{a^2} - \frac{h^2}{b^2} = 1$$

Equation approchée:

$$z = \frac{h^2}{2R} + \frac{h^4}{8R^3}(1+\varepsilon) + o(h^4)$$

Paraboloïde

Equation exacte:

$$MF' = MH$$
$$z = \frac{h^2}{2R}$$



Quadriques de révolution

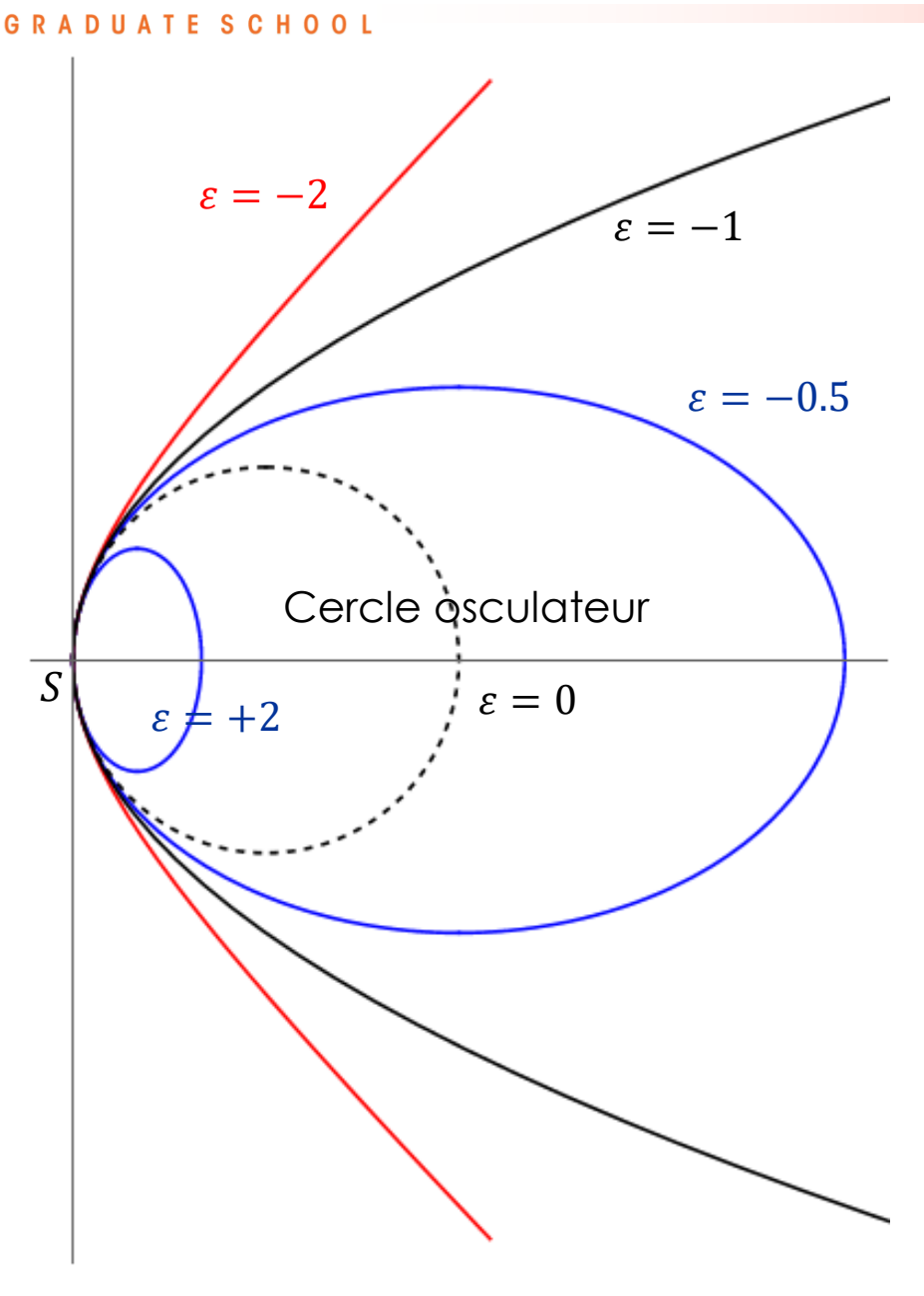
de R donné

Une équation approchée unique :

$$z = \frac{h^2}{2R} + \frac{h^4}{8R^3}(1+\varepsilon) + o(h^4)$$

 ε : ellipticité de la surface (Conicity Constant)

ε > 0	Ellipsoïde aplati
ε = 0	Sphère
-1 < ε < 0	Ellipsoïde allongé
ε = -1	Paraboloïde
ε<-1	Hyperboloïde



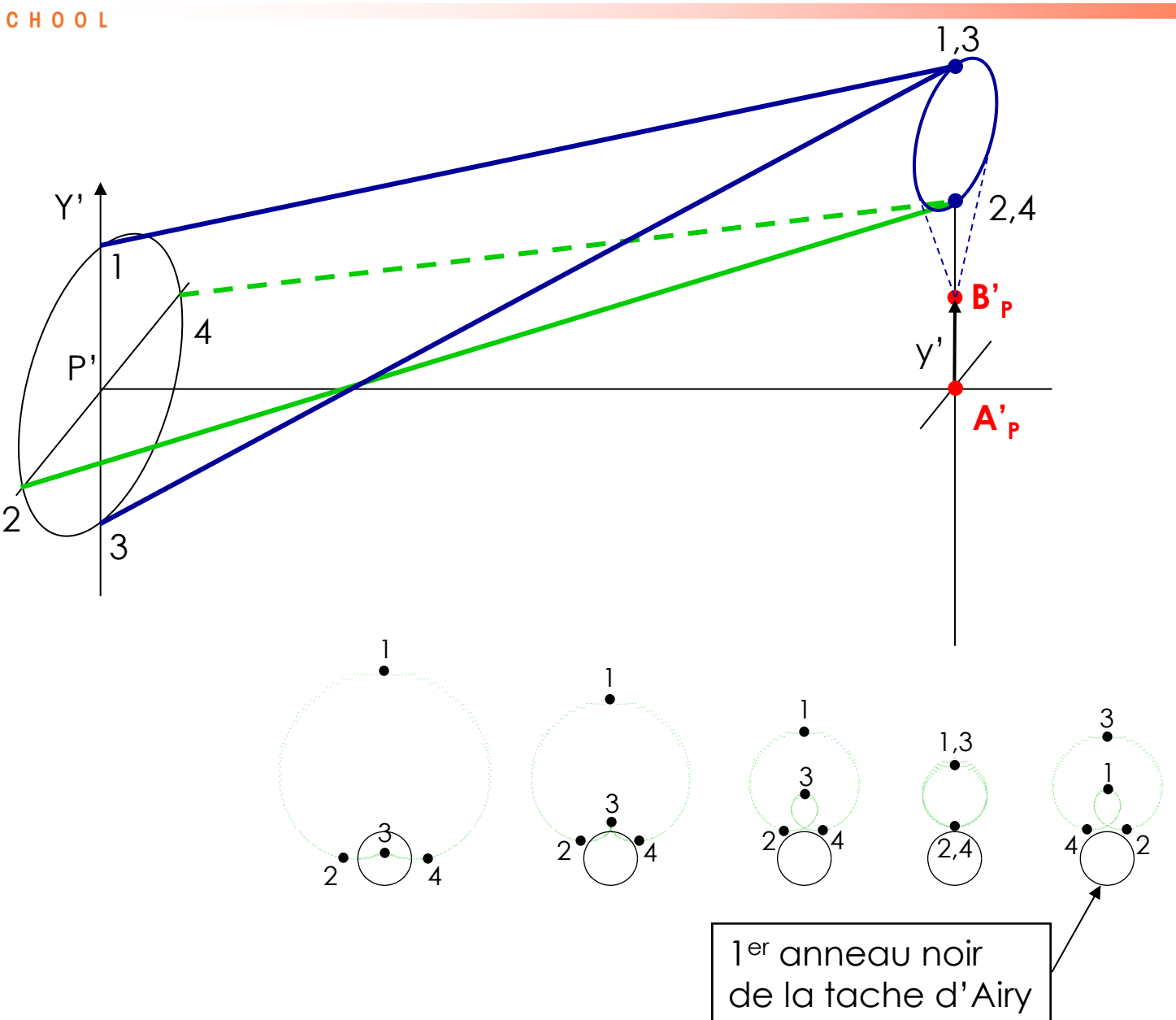


Chapitre 4

La coma

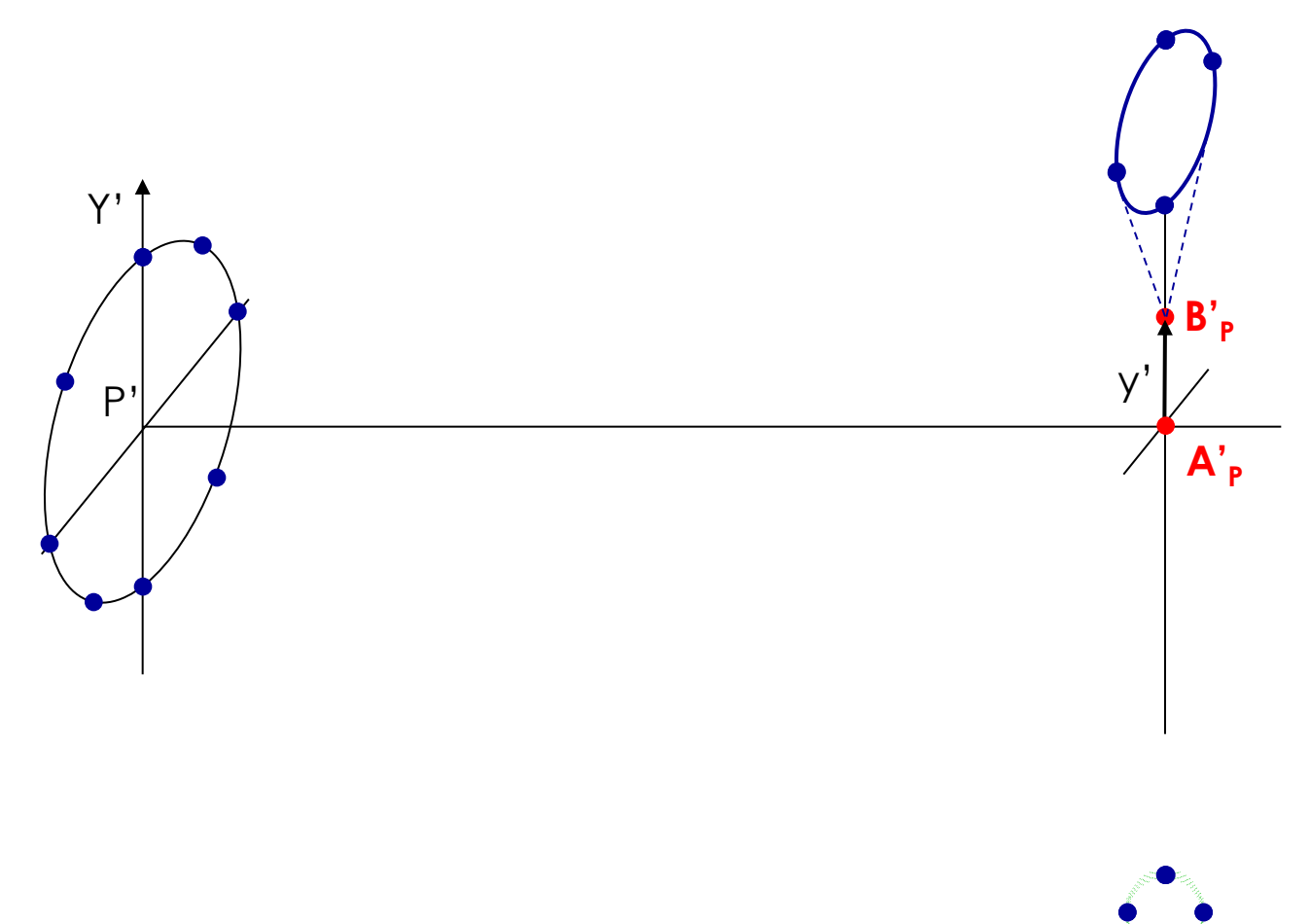


Etude expérimentale



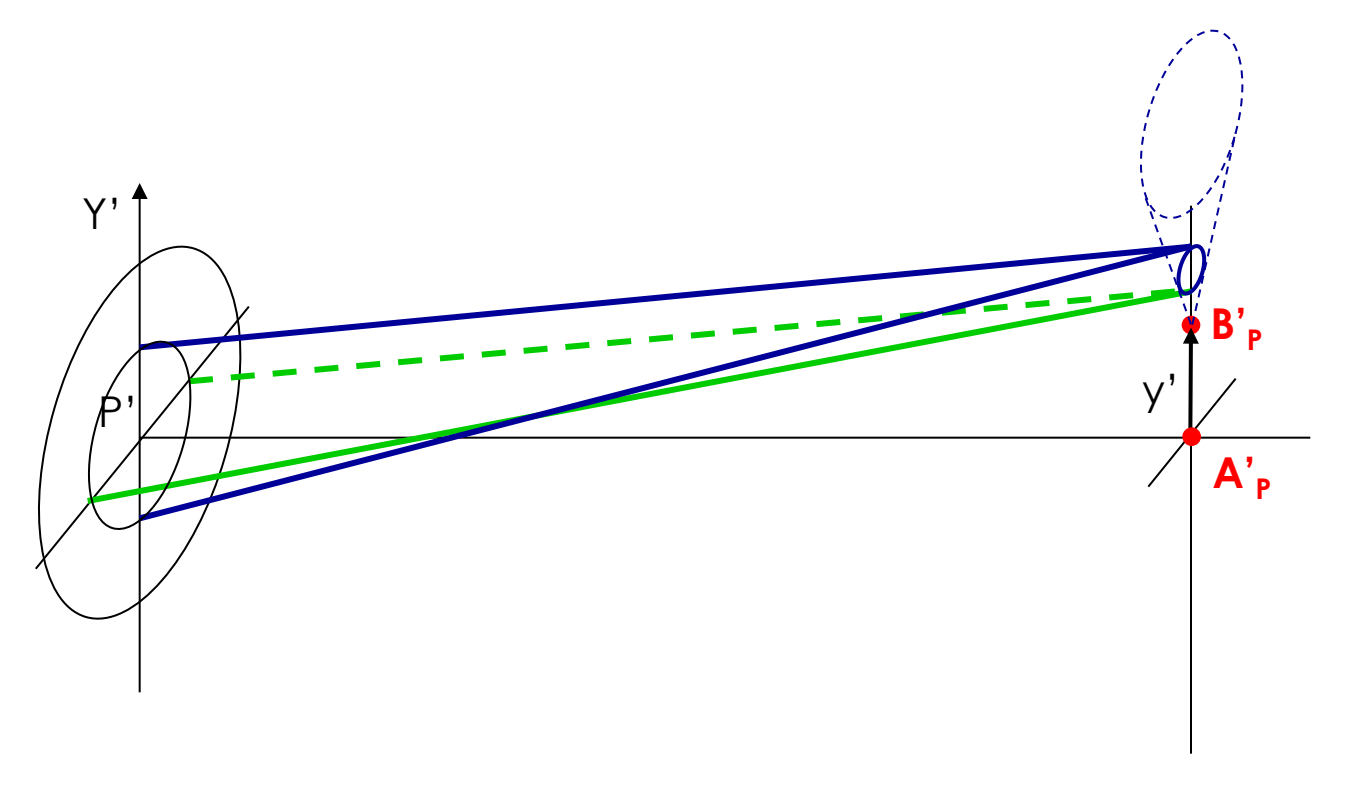


Etude expérimentale





Etude expérimentale





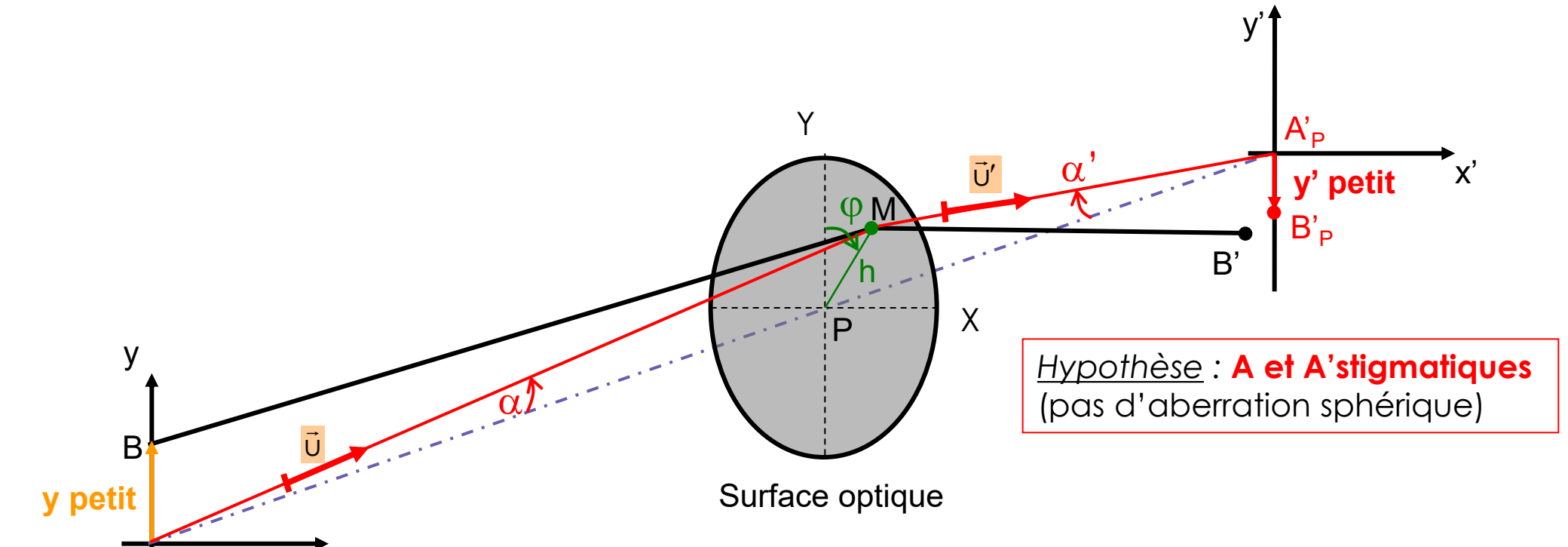


Coma pure : relations générales

Ecart normal:

centrée en B',

Ecart normal: par rapport à la sphère
$$S_P$$
 $\Delta(y', \alpha', \phi) \propto \left(\frac{\alpha'}{\alpha'_{max}}\right)^{2p+1} \left(\frac{y'}{y'_{max}}\right) \cos \phi \quad (p \ge 1)$ centrée en B'_P



Pour un point objet <u>au voisinage de l'axe</u> :

 $n'\Delta_{comq} = (ny \sin \alpha - n'y' \sin \alpha') \cos \varphi$



Ecart normal de coma pure

Pour un point objet <u>au voisinage de l'axe</u>:

$$n'\Delta_{coma} = (ny \sin \alpha - n'y' \sin \alpha') \cos \varphi$$

Preuve:
$$\vec{u} \begin{bmatrix} \sin \alpha \sin \varphi \\ \sin \alpha \cos \varphi \\ \cos \alpha \end{bmatrix}$$

$$\vec{AB} \begin{bmatrix} 0 \\ y \\ 0 \end{bmatrix}$$

$$\vec{u'} \begin{bmatrix} \sin \alpha' \sin \varphi \\ \sin \alpha' \cos \varphi \\ \cos \alpha' \end{bmatrix}$$

$$\vec{A'B'} \begin{bmatrix} 0 \\ y' \\ 0 \end{bmatrix}$$

$$n'\Delta_{coma} = L_B(P) - L_B(M) = L_B(P) - L_A(P) + L_A(P) - L_A(M) + L_A(M) - L_B(M)$$

$$\partial L = L_B(M) - L_A(M) = n' \overrightarrow{A'B'} \cdot \overrightarrow{u'} - n \overrightarrow{AB} \cdot \overrightarrow{u} = n' \ y' \sin \alpha' \cos \varphi - n \ y \sin \alpha \cos \varphi$$

 $\partial L_0 = L_B(P) - L_A(P) = 0$
 $L_A(P) - L_A(M) = 0$ (stigmatisme de A et A')



Coma pure : écart normal

La coma naît de l'écart à la condition des sinus d'Abbe*

la quantité $\frac{n \sin \alpha}{n' \sin \alpha'}$ dépend de α' , et : $\frac{n \sin \alpha}{n' \sin \alpha'} = g_y(\alpha') \xrightarrow{\alpha' \to 0} (g_y)_P$

$$\phi(\alpha')$$
 est paire, et $\phi(0)=0 \Rightarrow \phi(\alpha')=b\alpha'^2+b'\alpha'^4+...$

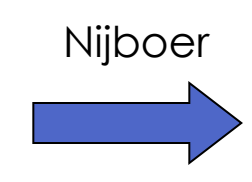
Ecart normal: $n'\Delta_{coma} = n'y' \phi(\alpha') \sin \alpha' \cos \phi$

Note *: Ne pas confondre « condition des sinus d'Abbe »: $ny \sin \alpha = n'y' \sin \alpha'$ (pas toujours vraie) et « invariant de Lagrange-Helmholtz » : $ny\alpha = n'y'\alpha'$, qui est toujours vrai dans la limite paraxiale 10

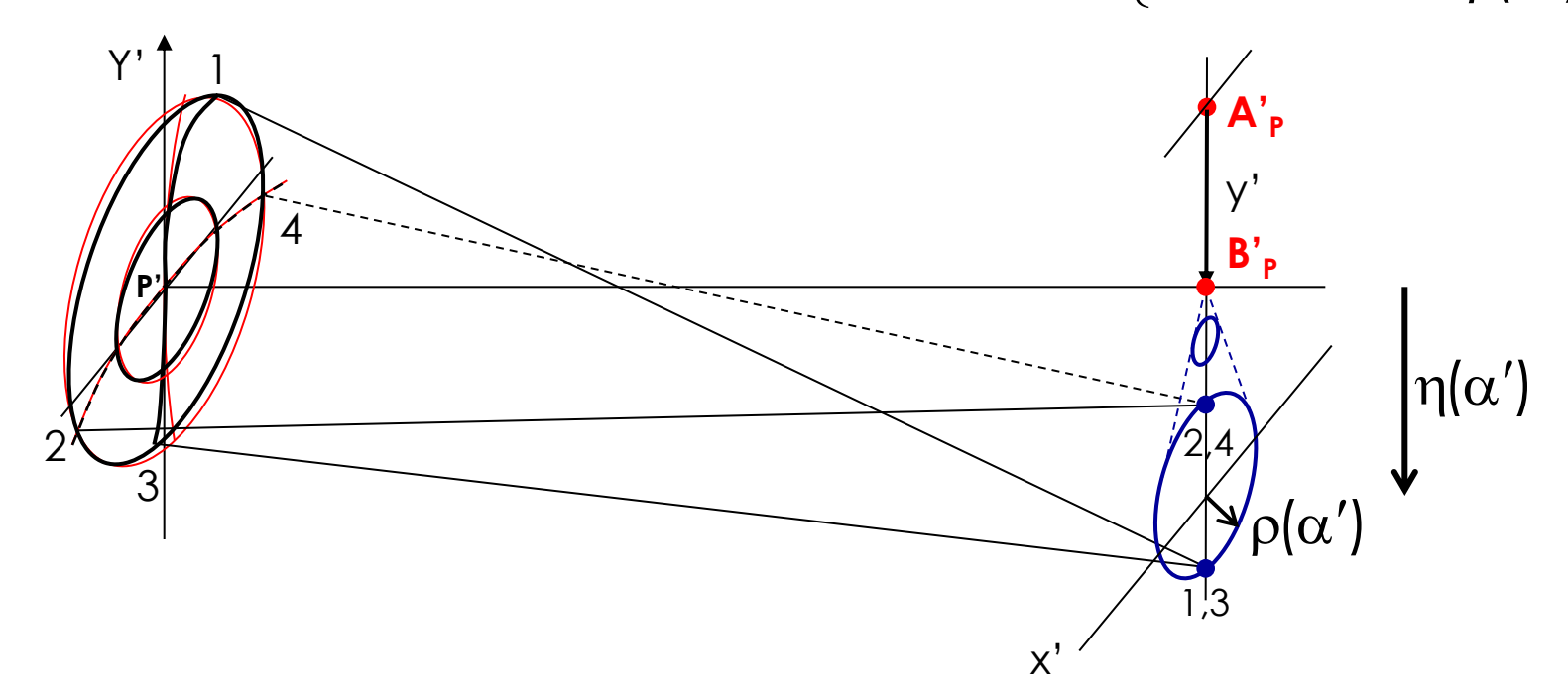


Coma pure : déformation du front d'onde & tache de diffusion

$$\Delta_{\text{coma}} = y' \phi(\alpha') \sin \alpha' \cos \phi$$



$$\begin{cases} dy' = \eta(\alpha') + \rho(\alpha')\cos 2\varphi \\ dx' = \rho(\alpha')\sin 2\varphi \end{cases}$$





Aplanétisme

• Ecart normal en présence d'aberration sphérique :

Pour un point objet au voisinage de l'axe optique

$$n'\Delta = n'\Delta_{ab.\,sph.} + (ny\sin\alpha - n'y'\sin\alpha'_{P})\cos\varphi$$

• Conditions d'aplanétisme pour à une conjugaison particulière A \rightarrow A' pas d'aberration sphérique : $\Delta_{ab. \, sph.} = 0$ pas de coma : $\forall \alpha$, $ny \sin \alpha = n'y' \sin \alpha'_P$: condition des sinus d'Abbe

→ système optique sans défaut au voisinage de l'axe optique

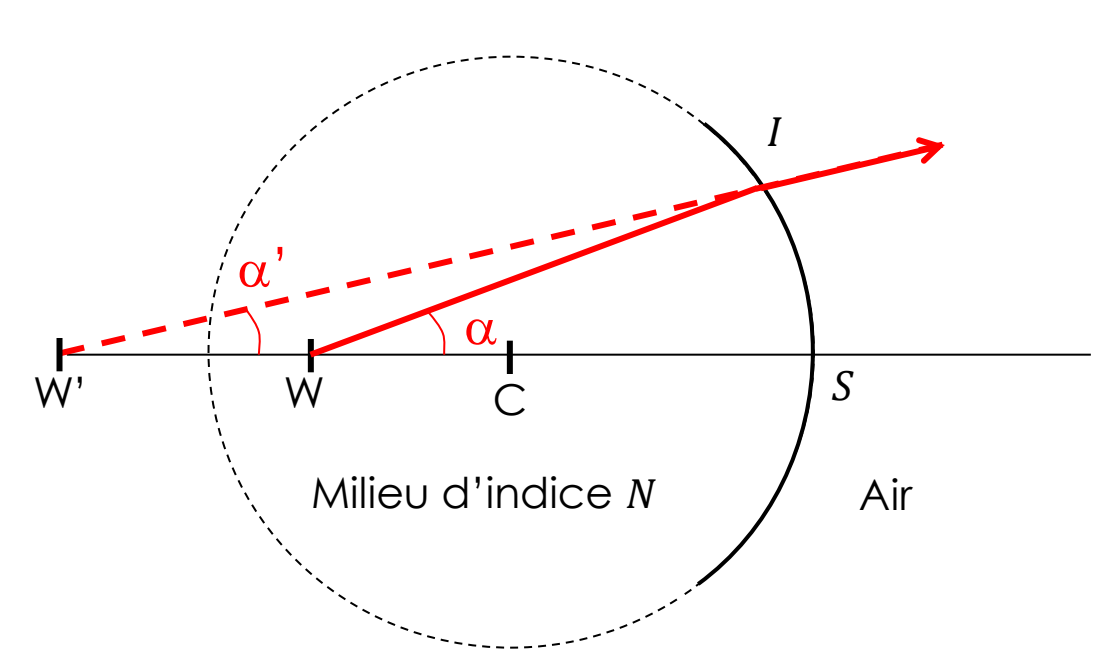
Exemples de systèmes et conjugaisons aplanétiques

dioptre sphérique & miroir sphérique : $C \rightarrow C$ et $S \rightarrow S$ dioptre sphérique : $W \rightarrow W'$ (points de Young-Weierstrass)

Exemples de systèmes stigmatiques sur l'axe, mais présentant de la coma : miroir parabolique ∞ → F', miroir elliptique F→ F' dioptre hyperbolique ∞ → F'



Points de Young-Weierstrass



$$L=(WIW')=n\,\overline{WI}+n'\overline{IW'}\triangleq0$$

D'où
$$\frac{\sin \alpha'}{\sin \alpha} = \frac{n'}{n}$$

$$I \rightarrow S : \mathbf{nz} = \mathbf{n}'\mathbf{z}'$$
En injectant dans $\frac{n'}{z'} - \frac{n}{z} = \frac{n'-n}{R}$,
$$z = R(\frac{n'}{n}+1) \qquad \qquad \overline{CW} = R\frac{n'}{n}$$

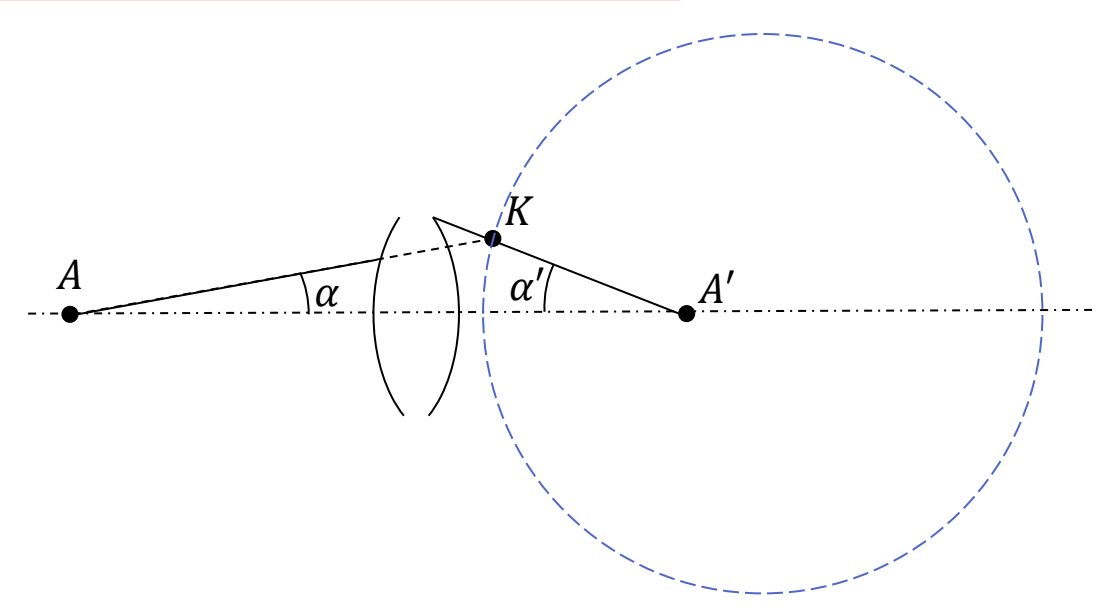
$$z' = R(\frac{n}{n'}+1) \qquad \qquad \overline{CW'} = R\frac{n}{n'}$$



Une condition nécessaire d'aplanétisme

$$\forall \alpha$$
, $ny \sin \alpha = n'y' \sin \alpha'_P$

implique que
$$\frac{\sin\alpha}{\sin\alpha'}=cste$$
, donc que $\frac{\overline{A'K}}{\overline{AK}}=cste$ pour tout K



Notons k cette constante.

$$\frac{\overrightarrow{A'K}}{\overline{AK}} = k \iff (\overrightarrow{A'K} + k\overrightarrow{AK}). (\overrightarrow{A'K} - k\overrightarrow{AK}) = 0$$

$$\Leftrightarrow \overrightarrow{S_1K}. \overrightarrow{S_2K} = 0$$

$$\Rightarrow \mathbf{K} \text{ appartient à un cercle}$$

<u>Corollaire</u>: les dioptres ou miroirs **a**sphériques stigmatiques pour un couple de points (A, A') présentent nécessairement de la coma :

- miroir parabolique ∞ → F',
- miroir elliptique F→ F',
- dioptre hyperbolique ∞ → F'



Coma du 3^e ordre

Approche géométrique (valide lorsque | dy' | >>RAiry)

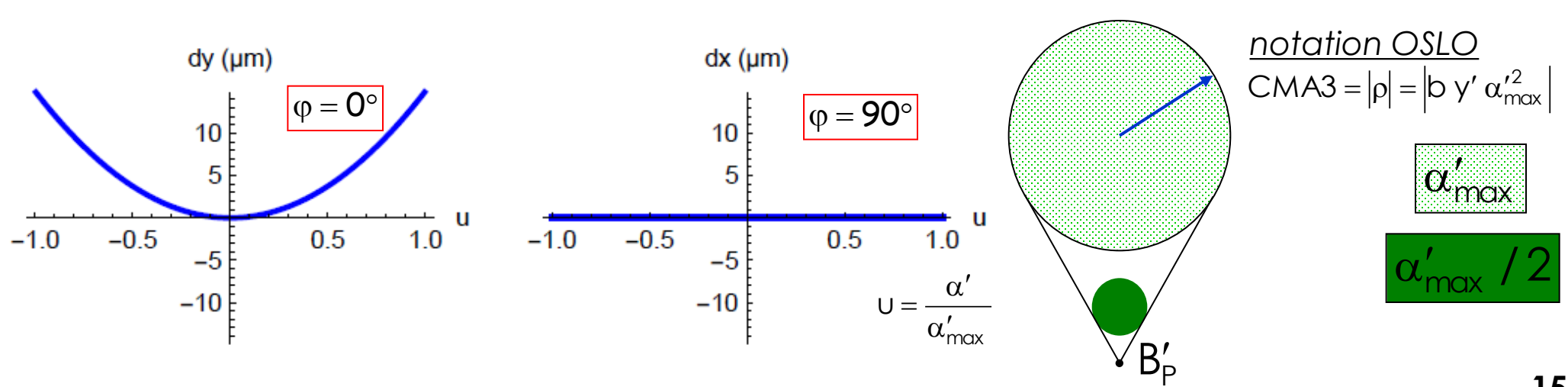
Ecart à la condition des sinus d'Abbe :

Tache de diffusion :

$$\begin{cases} dy' = b \alpha'^2 \\ dy' = b y' \alpha'^2 (2 + \cos 2\phi) = \rho (2 + \cos 2\phi) \\ dx' = b y' \alpha'^2 \sin 2\phi \\ = \rho \sin 2\phi \end{cases}$$

Spot diagramme

Courbes de tracés de rayons (Ray Intercept Curves):





Coma du 3^e ordre

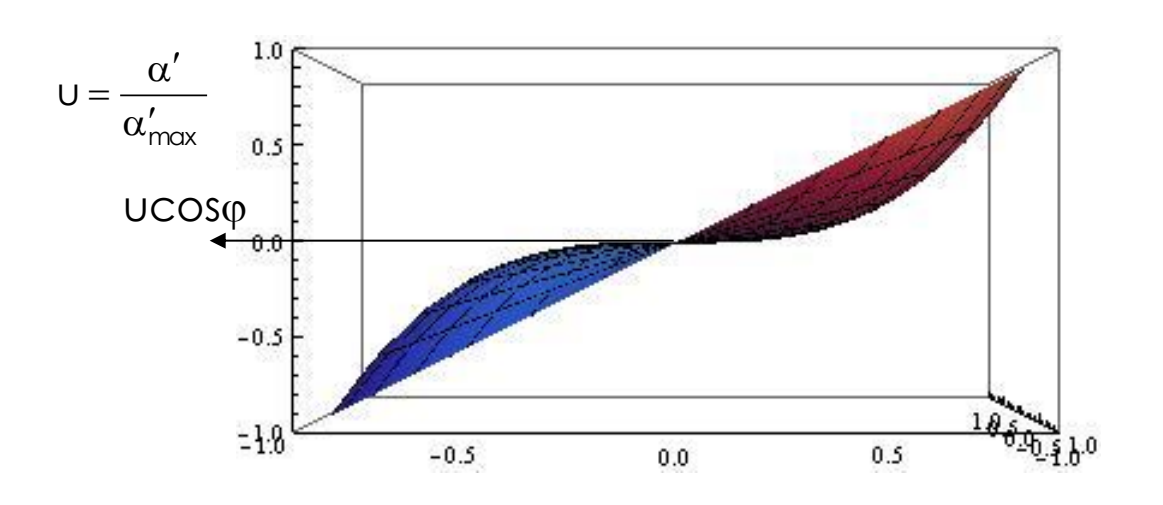
Approche géométrique (valide lorsque | dy' | >>R_{Airv})

Ecart à la condition des sinus d'Abbe :

Tache de diffusion:

 $|\phi(\alpha')| = |\phi(\alpha')|^2$ $\begin{cases} dy' = b \ y' \ \alpha'^2 (2 + \cos 2\phi) = \rho (2 + \cos 2\phi) \\ dx' = b \ y' \ \alpha'^2 \sin 2\phi = \rho \sin 2\phi \end{cases}$

Ecart normal / sphère
$$S_P$$
: $\Delta = b y' \alpha'^3 \cos \varphi$

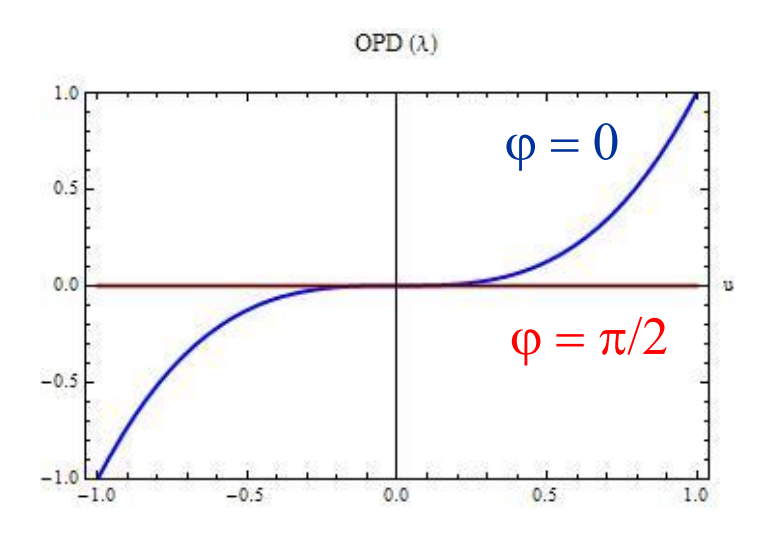


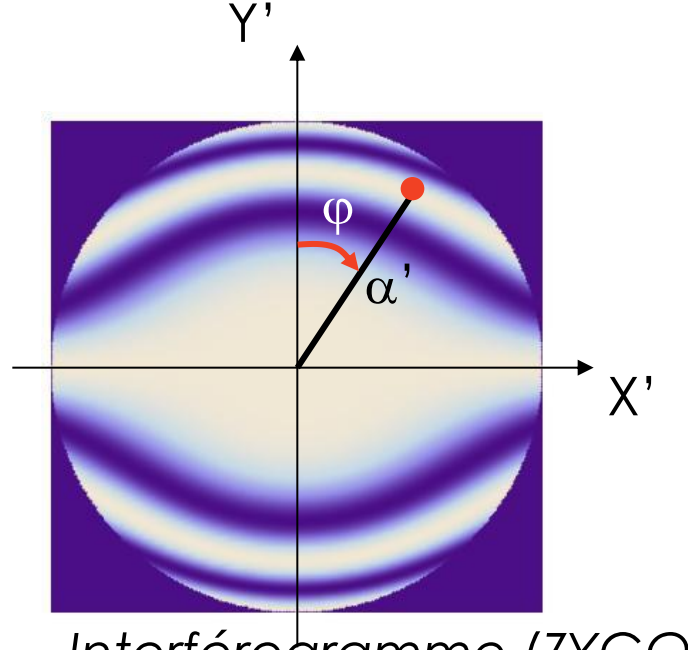


Coma du 3^e ordre

Développement de l'écart normal sur la pupille :

$$\Delta = \Delta_{\text{CMA}} \, \text{U}^3 \, \text{COS} \, \phi$$
 par rapport à la sphère S_P centrée en B' $_P$





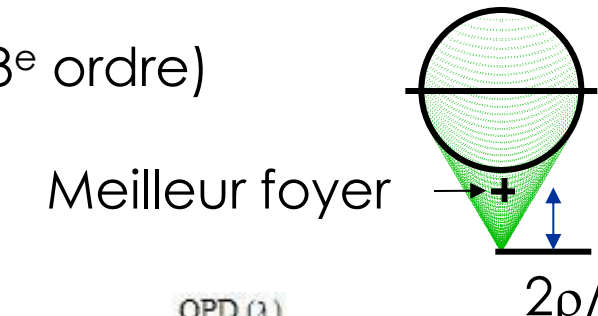
Interférogramme (ZYGO)

$$I(\alpha', \varphi) = \frac{1}{2} \left[1 + \cos(2\pi \frac{2\Delta}{\lambda}) \right]$$



Meilleur foyer

Meilleur foyer : situé à 2ρ/3 de B'_{paraxial} (au 3e ordre)



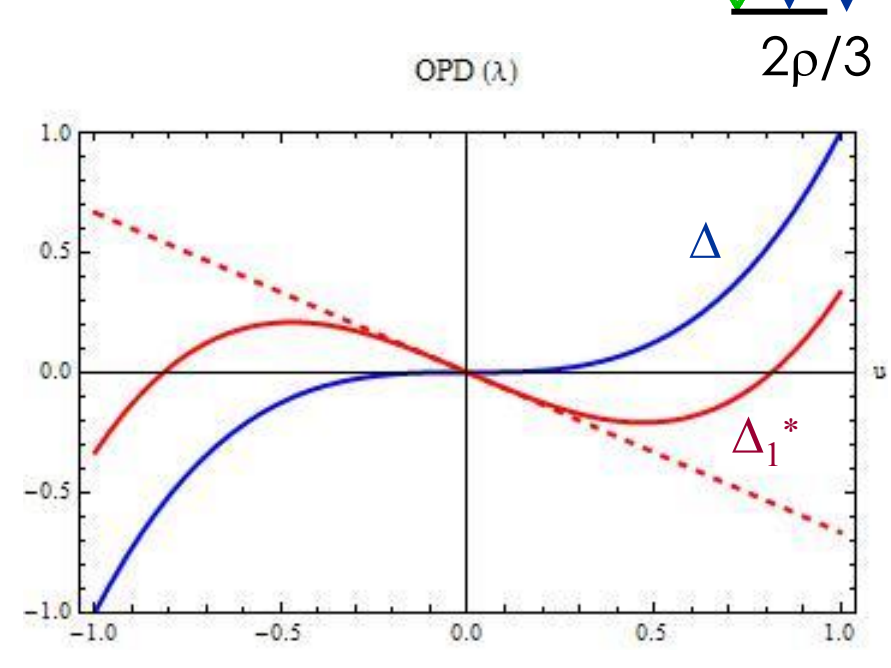
$$\Delta = \Delta_{CMA} U^3 \cos \phi / S_P$$

$$\Delta_1 = \Delta_{CMA} U^3 COS \phi + \Delta_{TLT} U COS \phi / S_1$$

$$\Delta_1^* = \Delta_{CMA} (U^3 - \frac{2}{3}U) \cos \varphi / S_1^*$$

Développement sur les polynômes de Zernike

$$\sigma_{\Delta} = \Delta_{CMA} \times \frac{1}{\sqrt{8}}$$
 $\sigma_{\Delta_1^*} = \sigma_{\Delta} / 3$



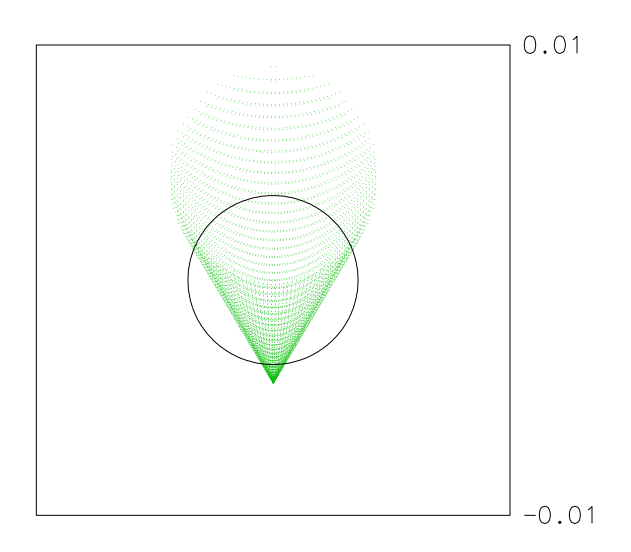
Tolérances selon le critère de Maréchal (σ_{Δ} < $\lambda/14$)

- Pour une mise au point à l'image paraxiale : $\Delta_{CMA} < 0.20 \lambda$
- Pour une mise au point au meilleur foyer : $\Delta_{\rm CMA} < 0.60 \lambda$



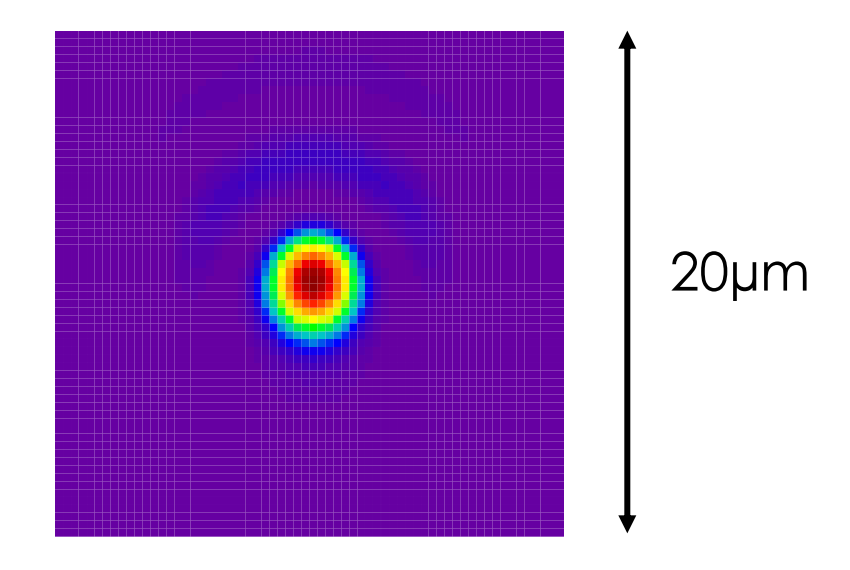
Approche ondulatoire

Exemple: miroir parabolique f'=1000mm, ON=0.1, θ = 0.1°



$$R_{airy} = 3.6 \mu m$$

$$\rho = 4.4 \mu m$$



 $R_S = 0.08$ au foyer paraxial

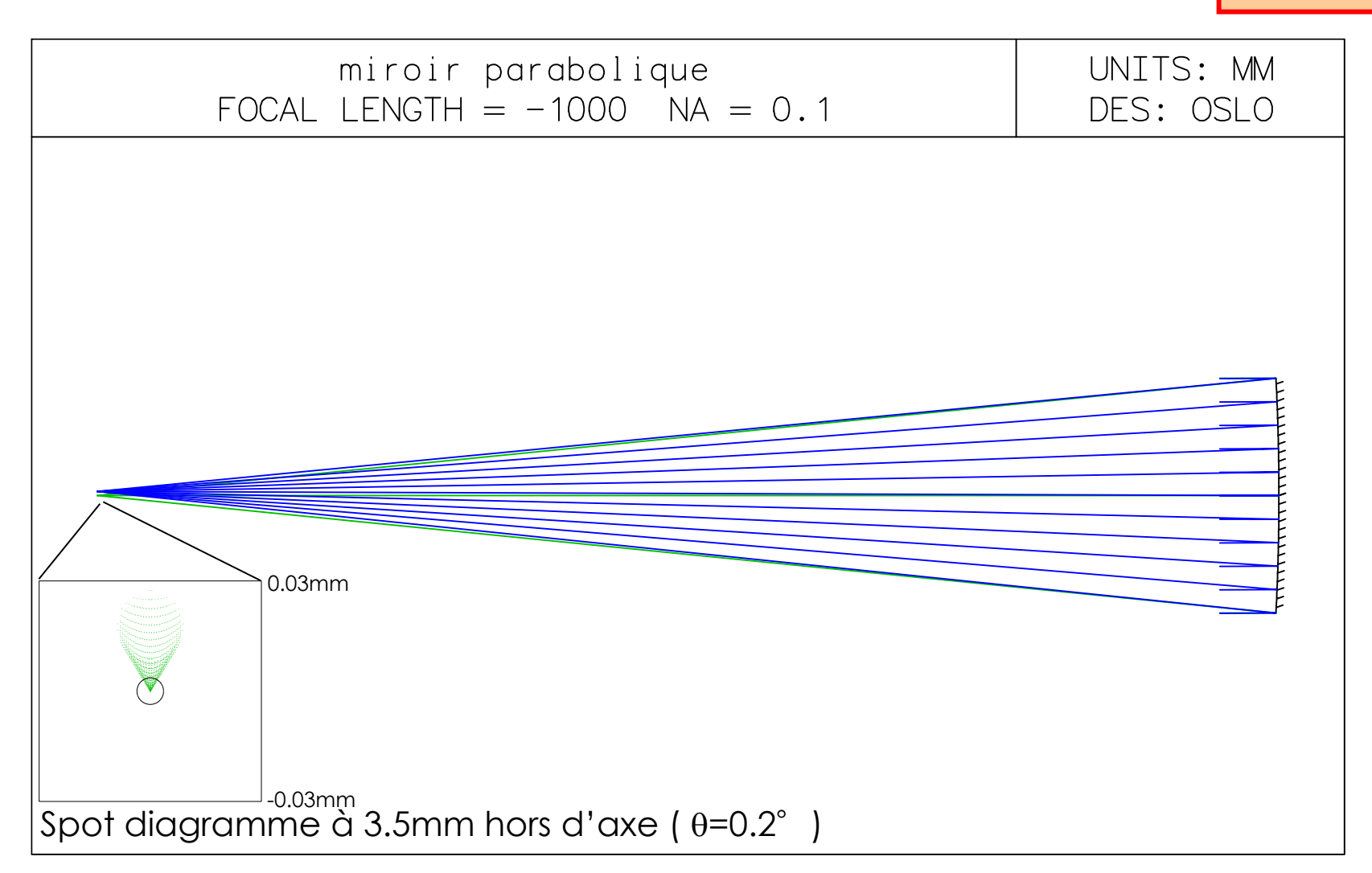
R_S* = 0.74 au meilleur foyer



Coma 3^e du Miroir parabolique $\infty \rightarrow F'$

Pour un miroir parabolique en conjugaison $\infty \rightarrow F'$

$$b = 1/4$$





Ce qu'il faut retenir de la coma ...

- Origine de la coma : écart à la condition des sinus d'Abbe; on caractérise
 l'amplitude de cet écart par un coefficient sans dimension, b
- Coma d'ordre 3 :
 - La tache de diffusion a la forme d'une comète, ou d'une « aigrette »
 - Dimensions de l'aigrette dans le plan paraxial : 3ρ avec $\rho = by'\alpha'^2$
 - Ecart normal par rapport à la sphère paraxiale : $\Delta = by'\alpha'^3 \cos \varphi$
- Forme de la déformation du front d'onde pour une sphère de référence centrée au foyer paraxial, ou au meilleur foyer.
- Pour un miroir parabolique portant la pupille, en conjugaison $\infty \to F'$, b=1/4
- Notion d'aplanétisme
- Savoir citer quelques exemples de conjugaison aplanétique



Exercice 1: aplanétisme des points de YoungWeierstrass

On considère la conjugaison aux points d'Young-Weierstrass $W \to W'$ d'un dioptre sphérique séparant un milieu objet (d'indice n) d'un milieu image (d'indice n'),

- 1. Calculer $\sin \alpha / \sin \alpha'$ et en déduire que la conjugaison $W \to W^{'}$ est aplanétique.
- 2. En déduire l'expression du grandissement transversal paraxial $(g_y)_{p'}$ puis celle du grandissement angulaire paraxial $(g_a)_{p'}$, en fonction de n et n'.



Exercice 2: coma d'un miroir parabolique

Un astronome amateur observe une étoile dans le spectre visible ($\lambda = 587$ nm) à l'aide d'un télescope de Newton (miroir primaire parabolique + miroir secondaire plan) équipé d'un oculaire de focale 15mm. Le télescope est ouvert à F/5 et sa focale vaut 1m.

Sachant que l'étoile est à 1° de l'axe du télescope, et que la résolution angulaire de l'oeil est de 2' d'arc, décrivez précisément ce que voit l'astronome.